

1/22

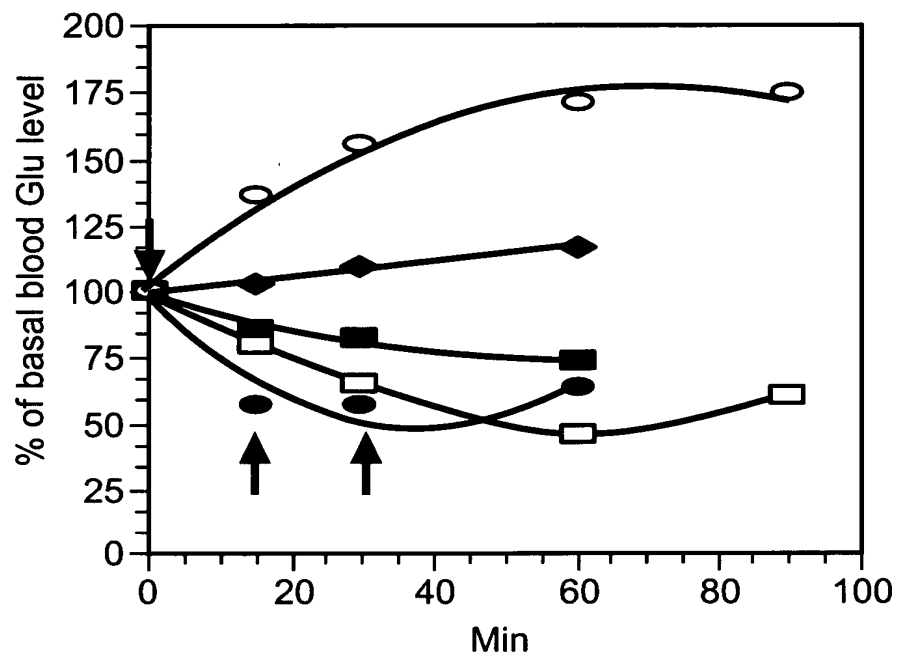


Fig. 1a

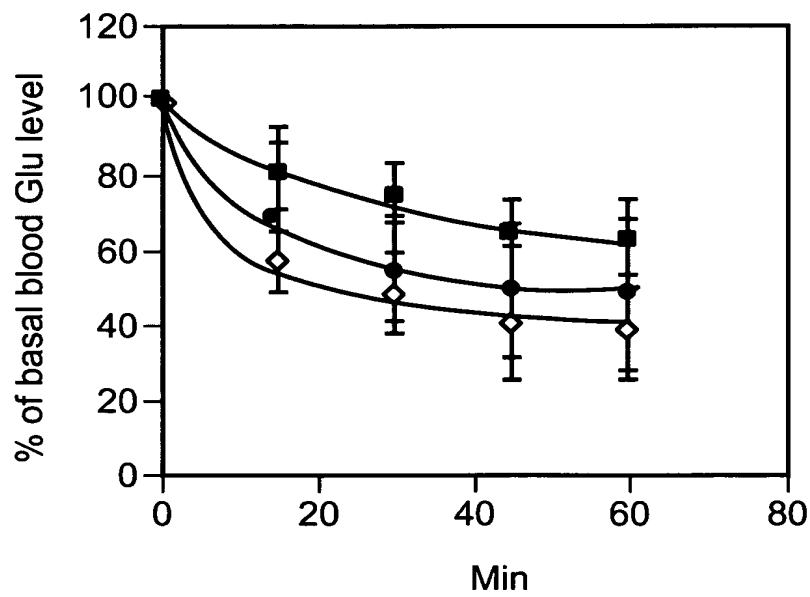


Fig. 1b

2/22

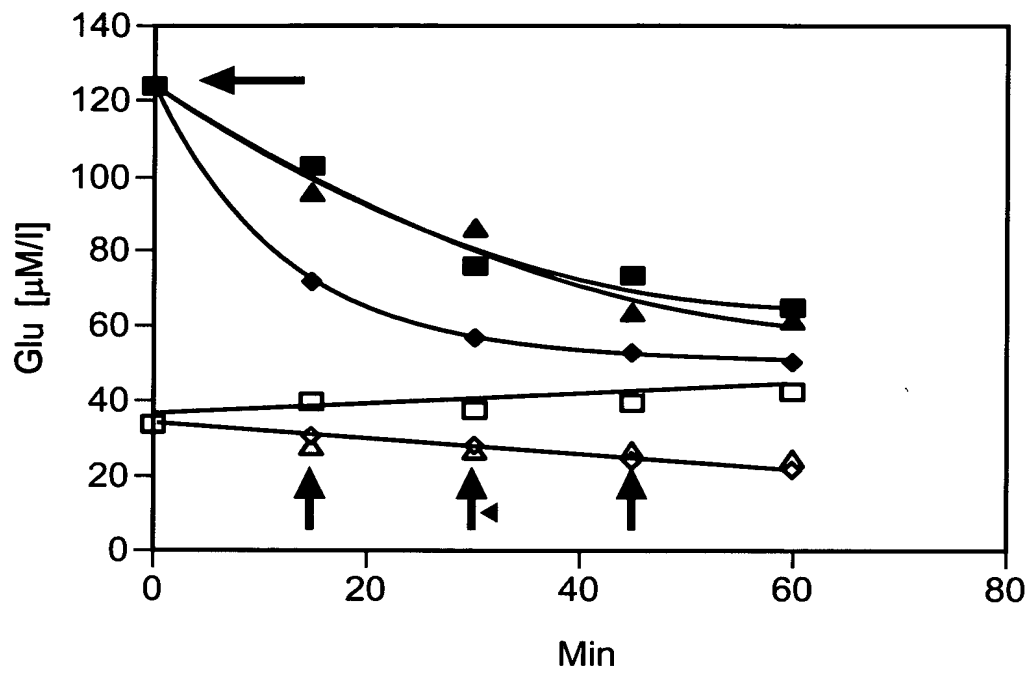


Fig. 2a

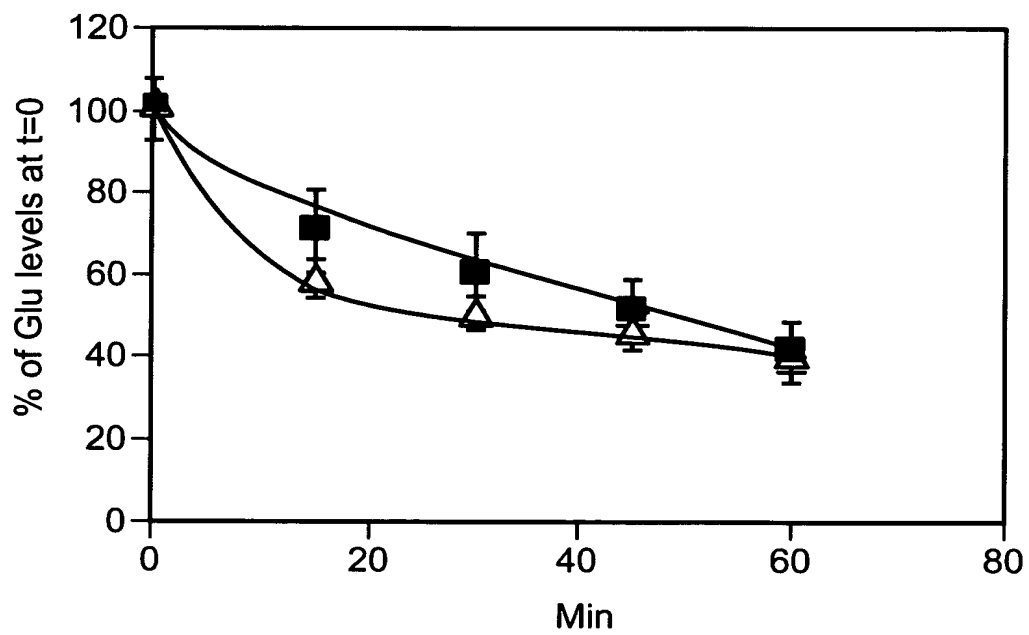


Fig. 2b

3/22

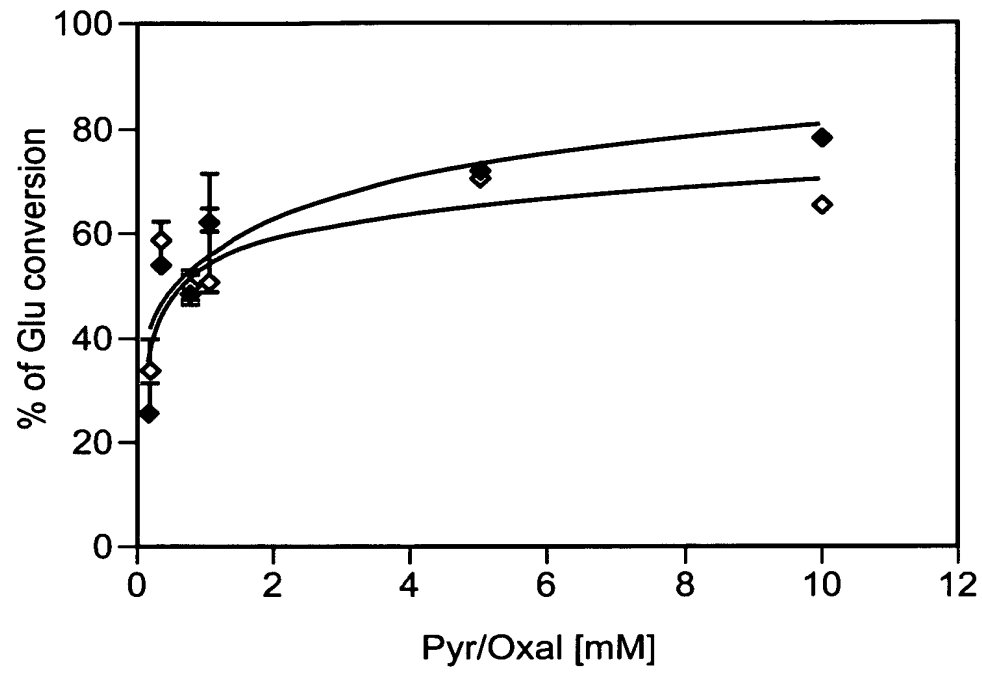


Fig. 3

4/22

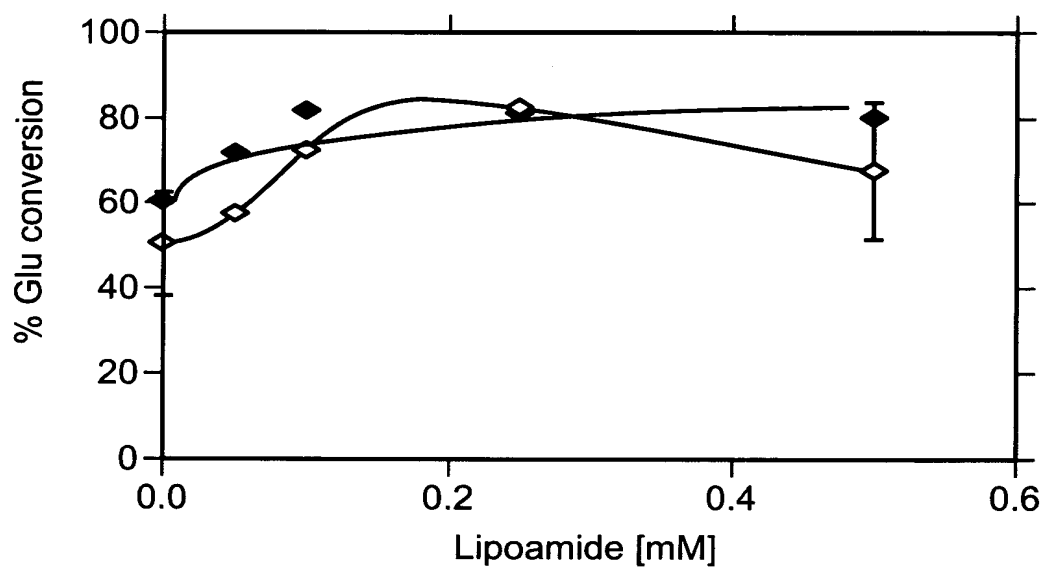


Fig. 4a

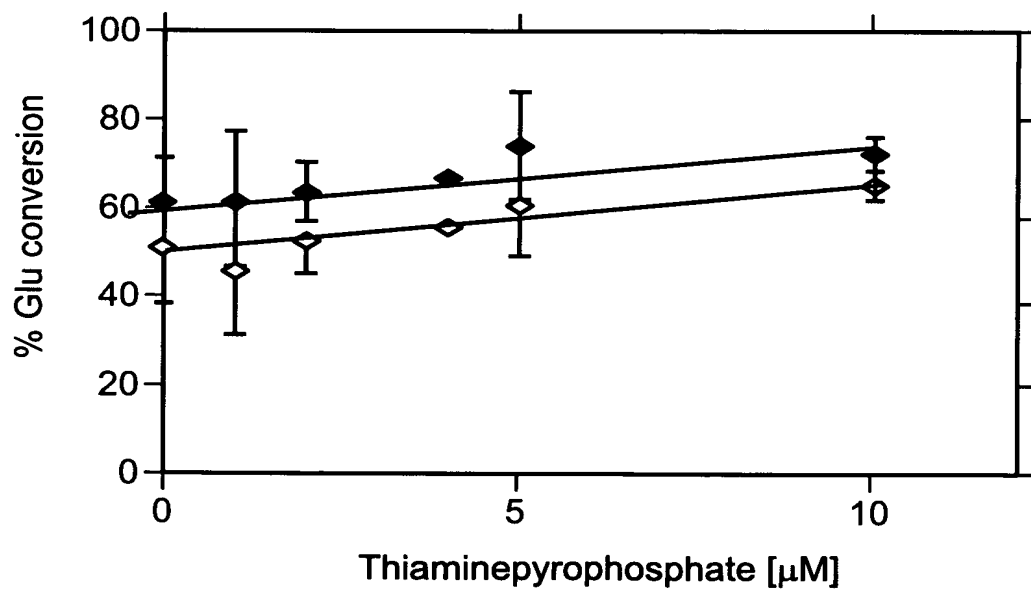


Fig. 4b

5/22

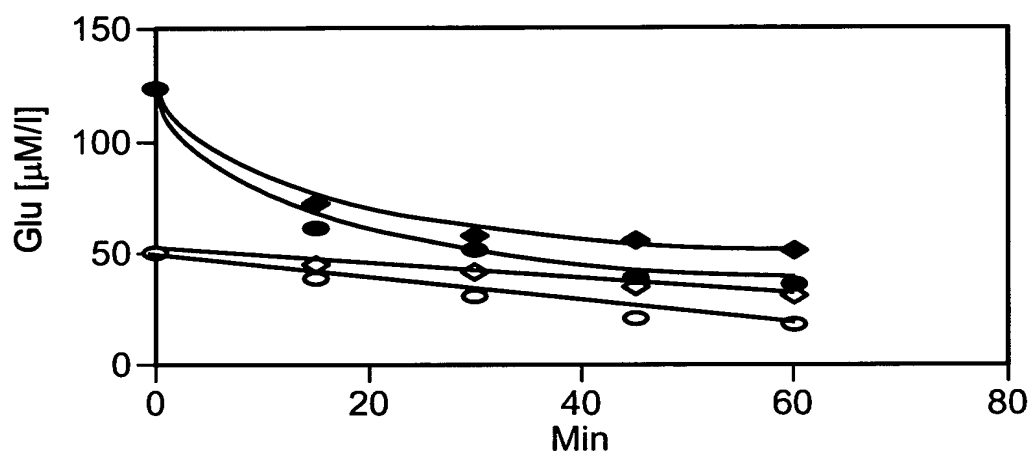


Fig. 5a

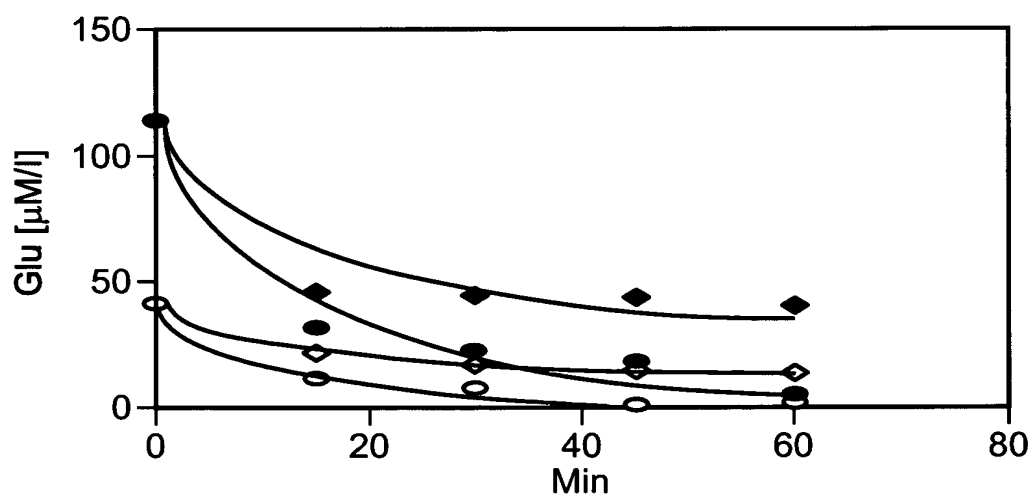


Fig. 5b

6/22

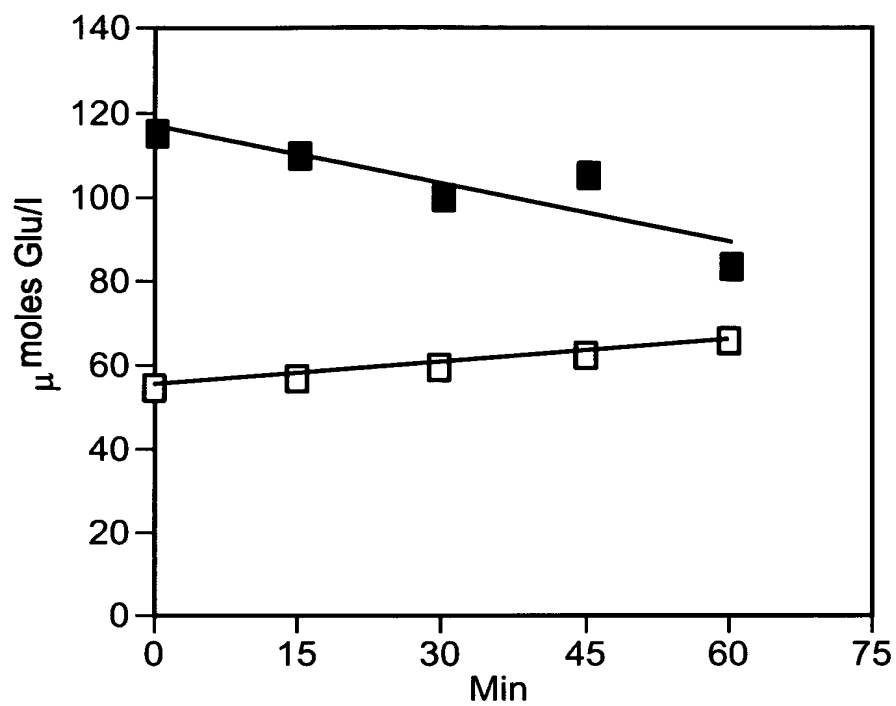


Fig. 6

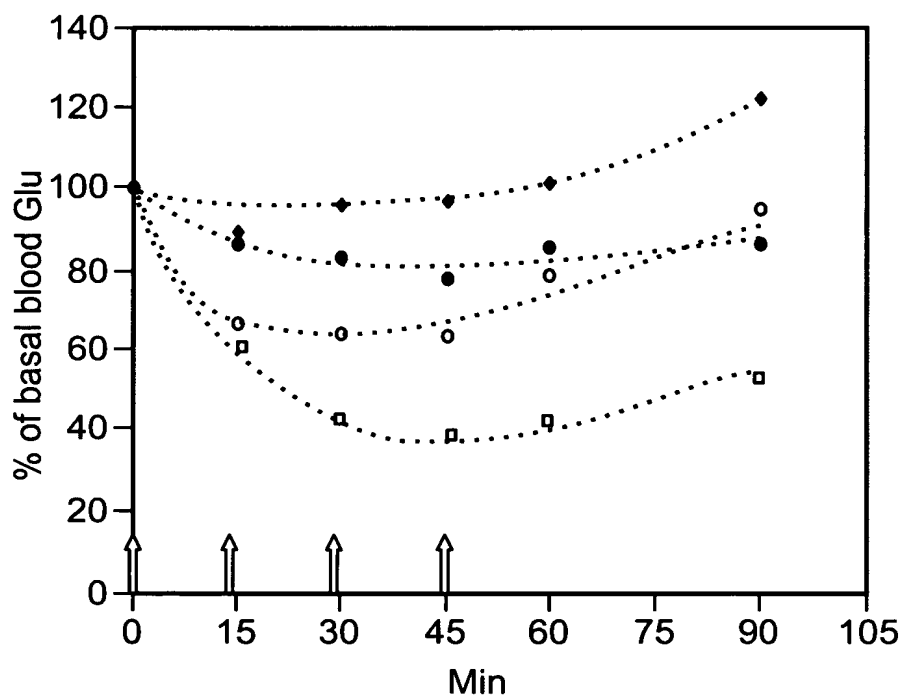


Fig. 7

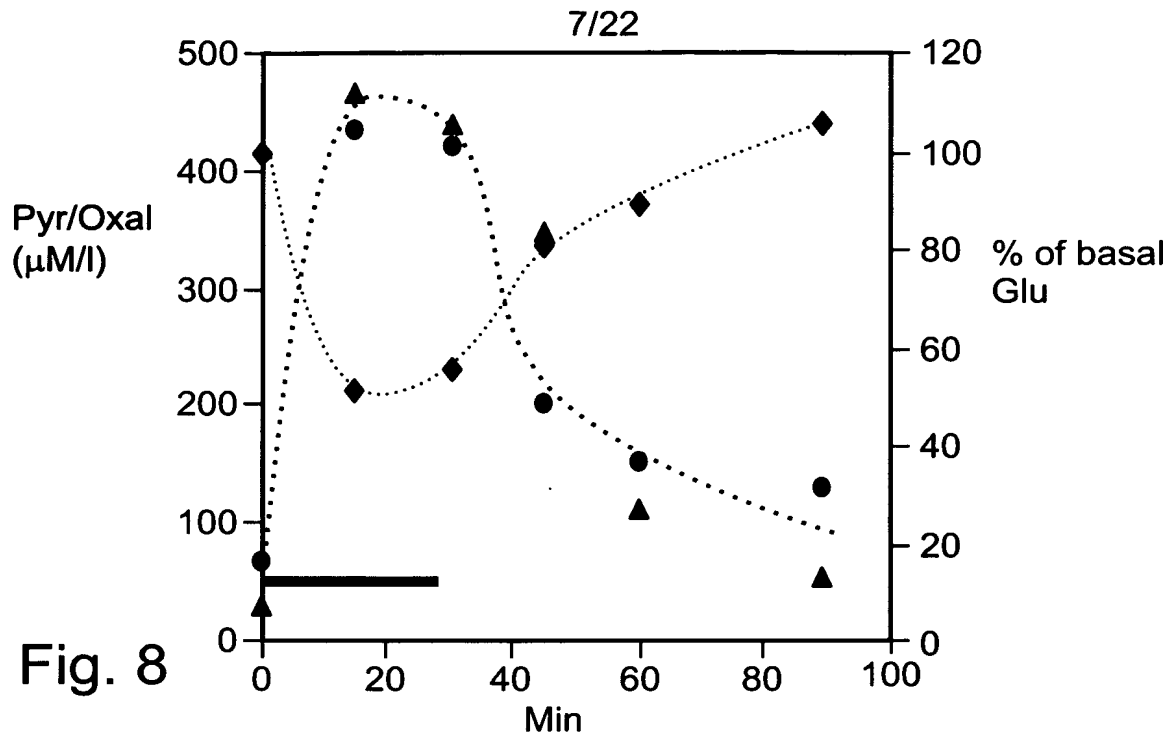


Fig. 8

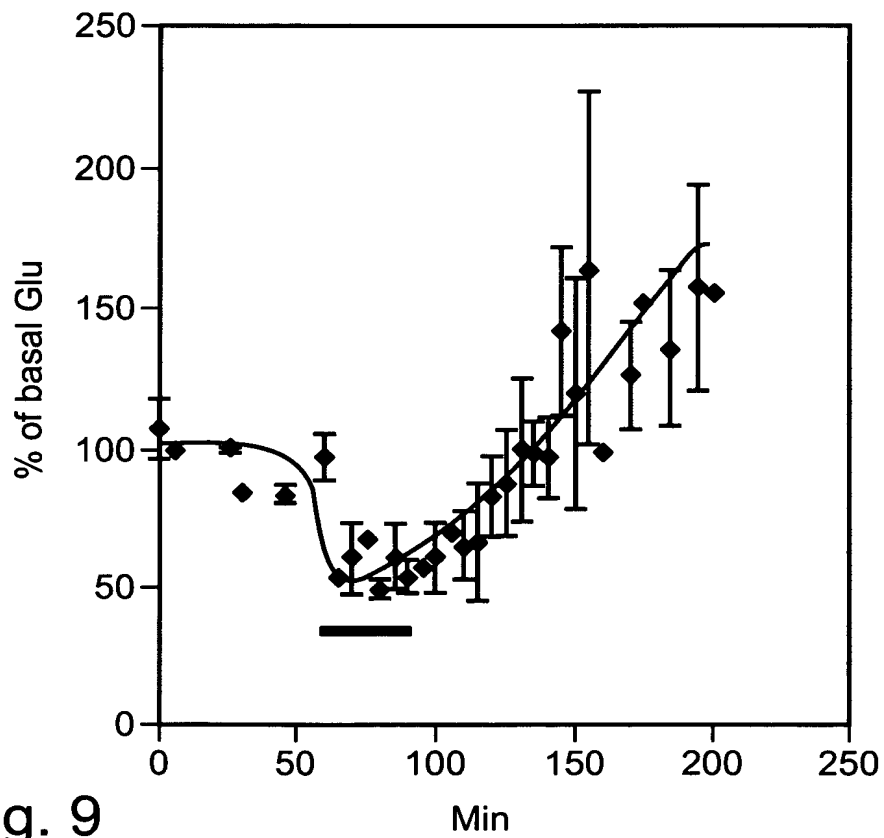


Fig. 9

8/22

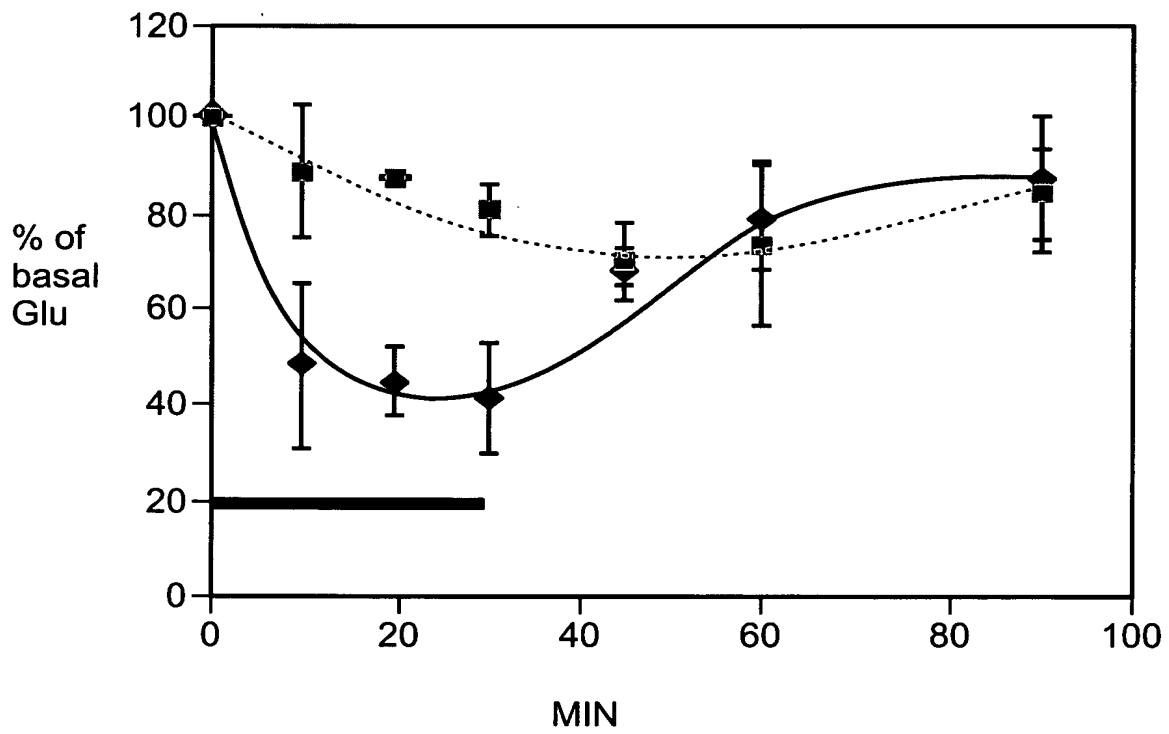


Fig. 10



9/22

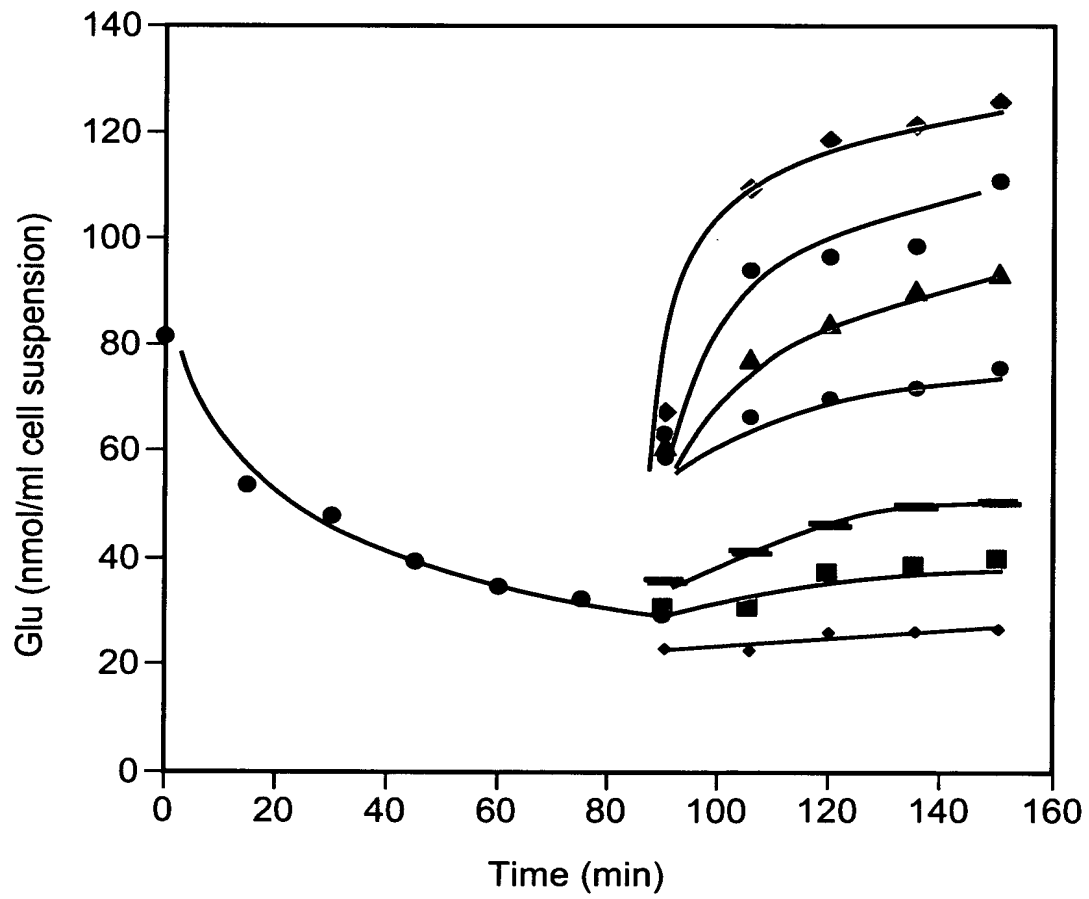


Fig. 11

10/22

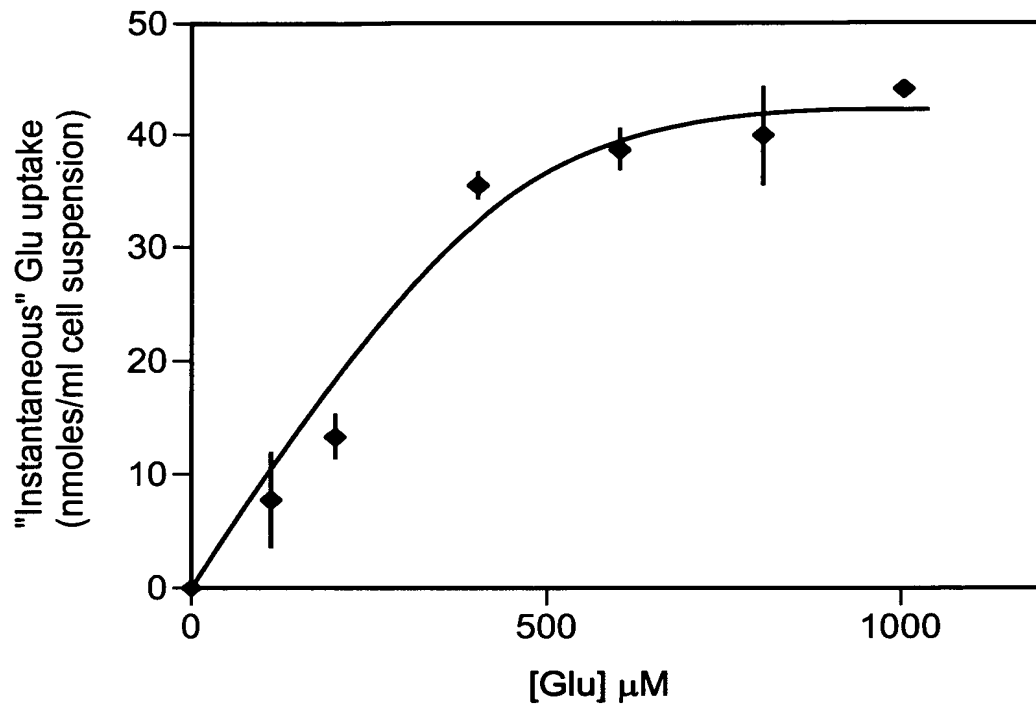


Fig. 12

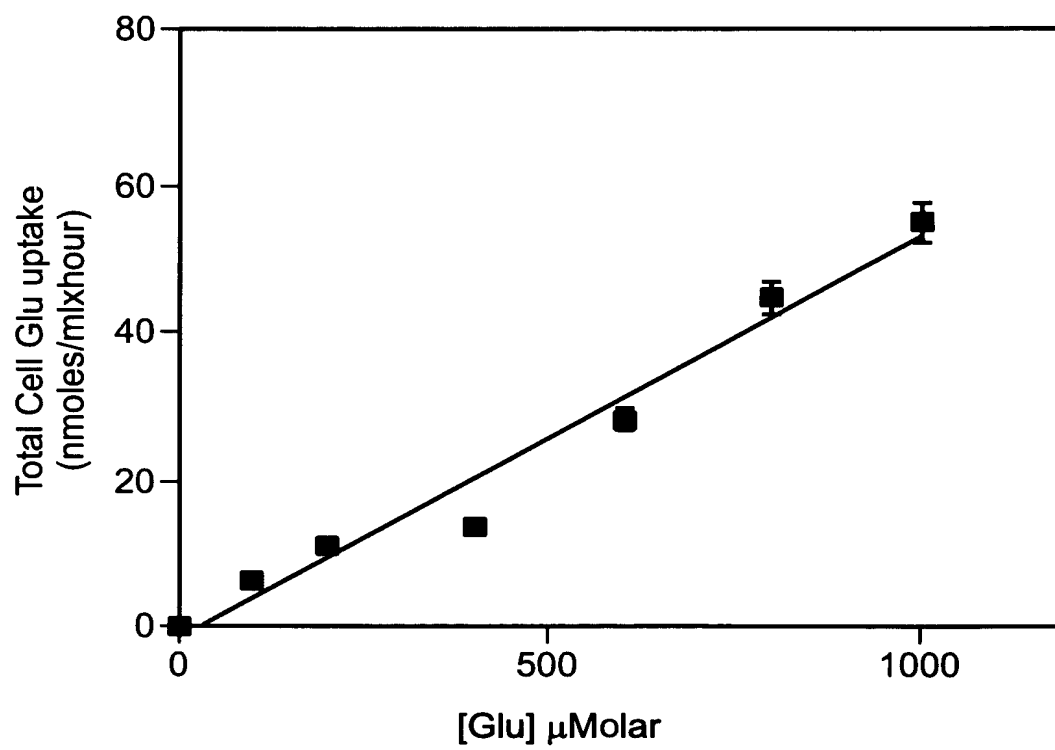


Fig. 13

11/22

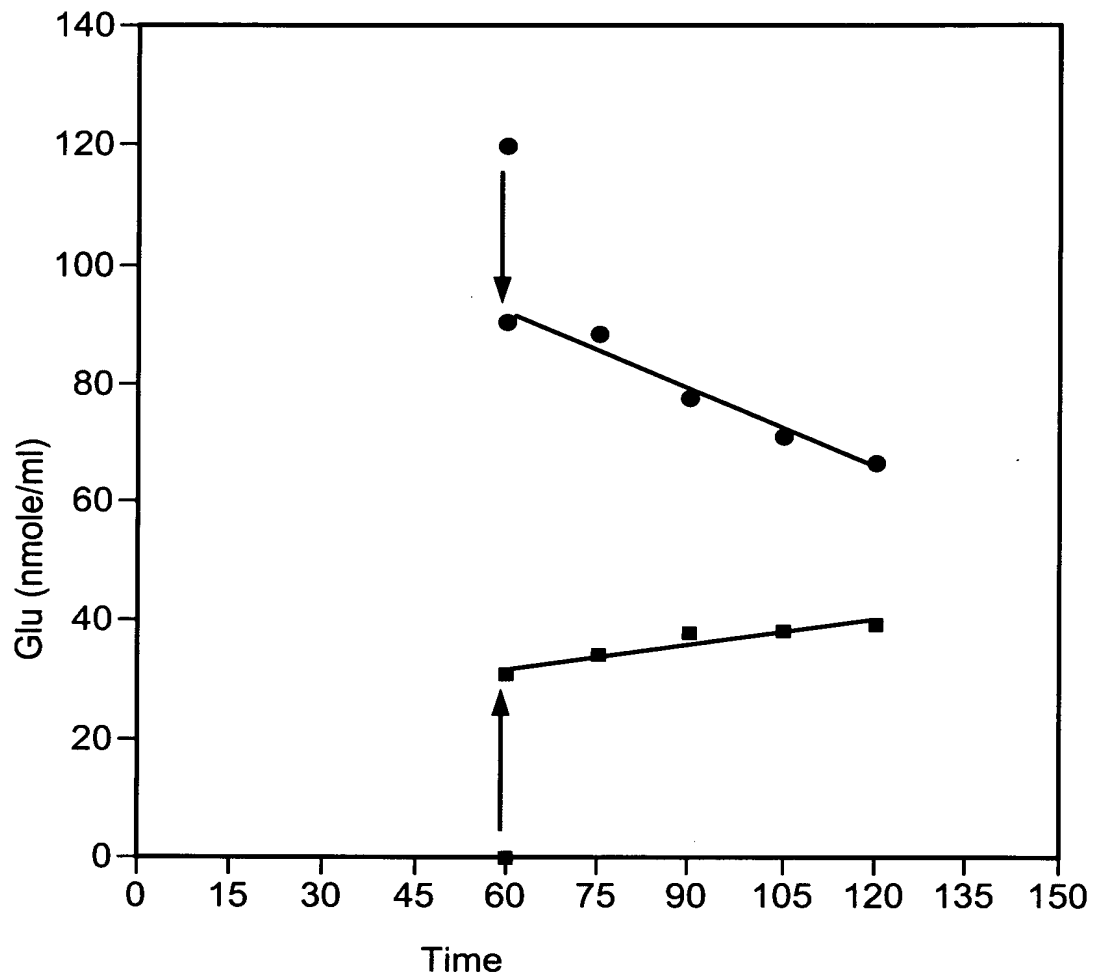


Fig. 14

12/22

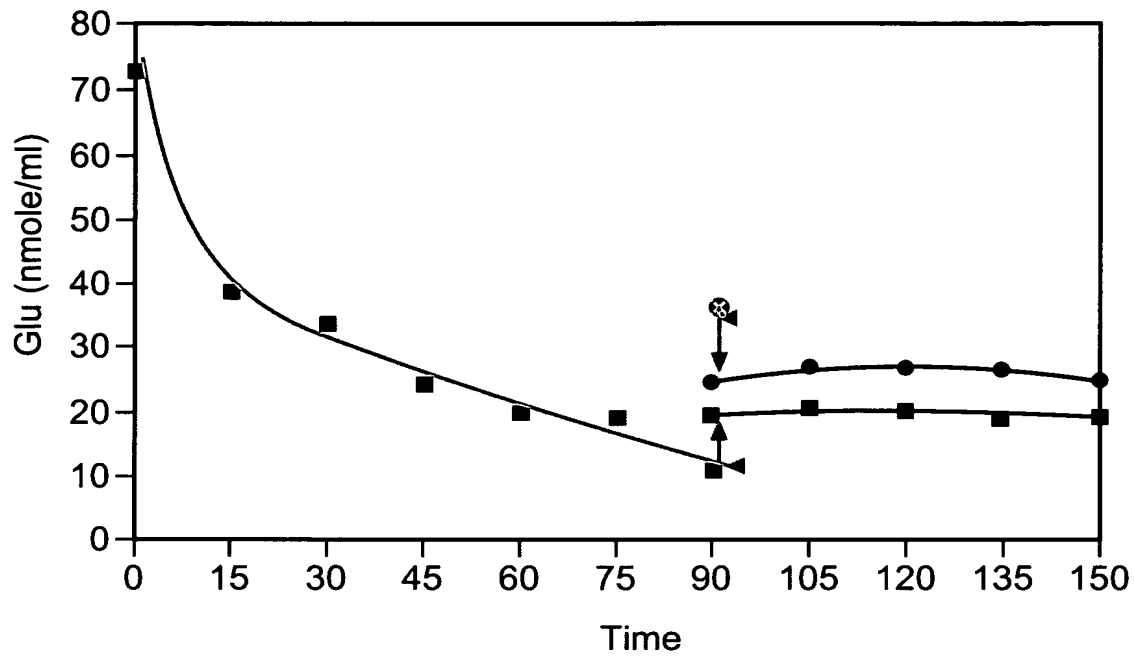


Fig. 15

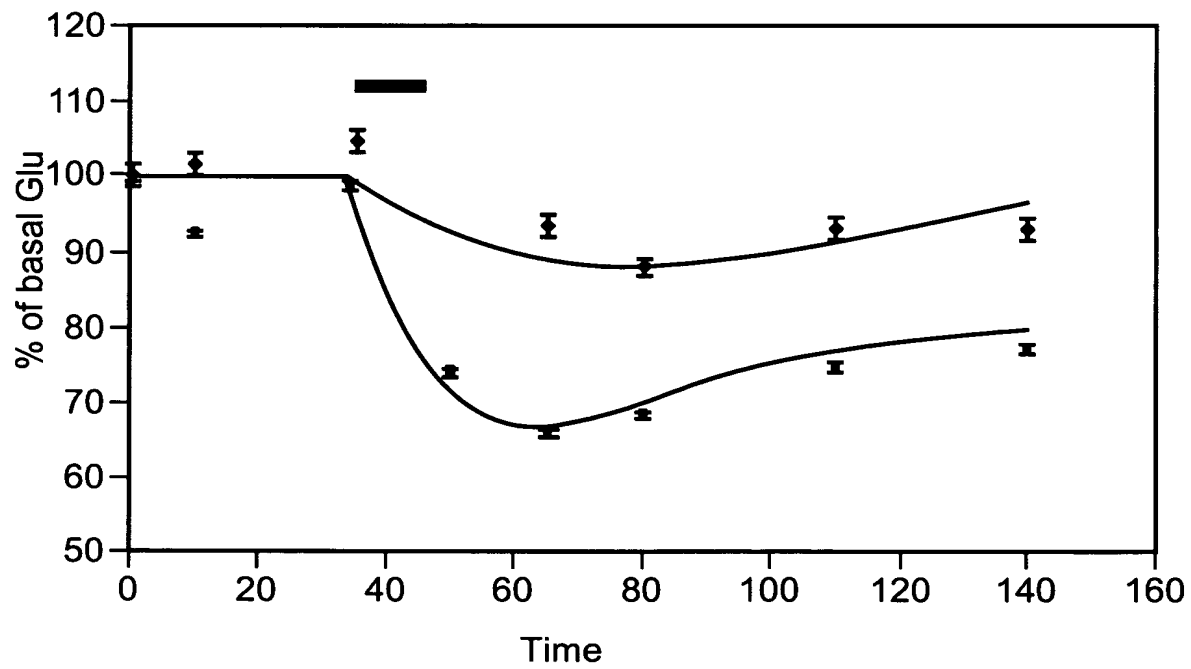


Fig. 16

13/22

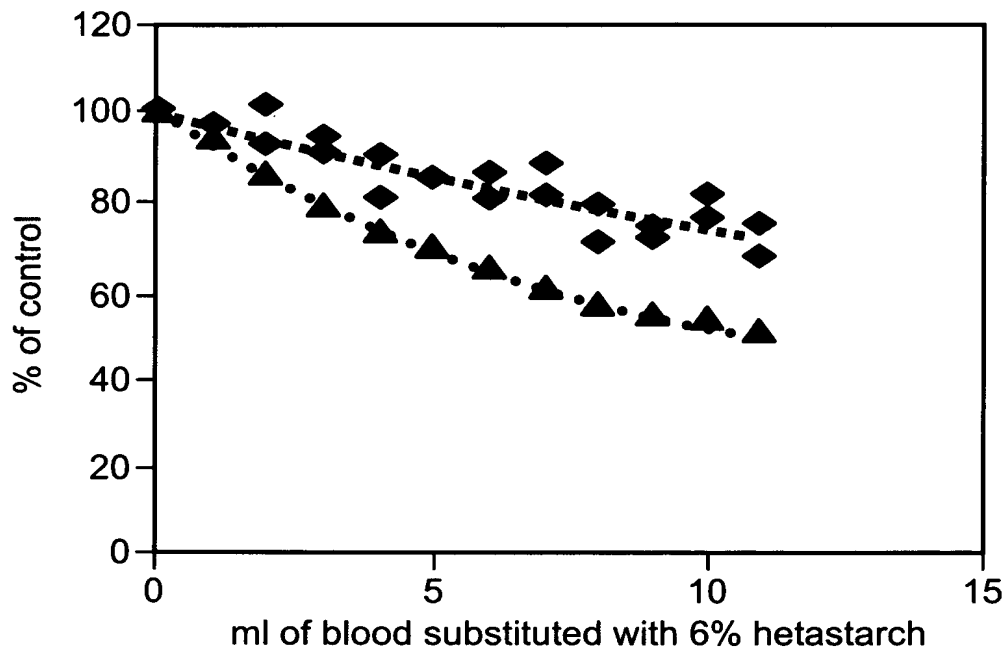


Fig. 17

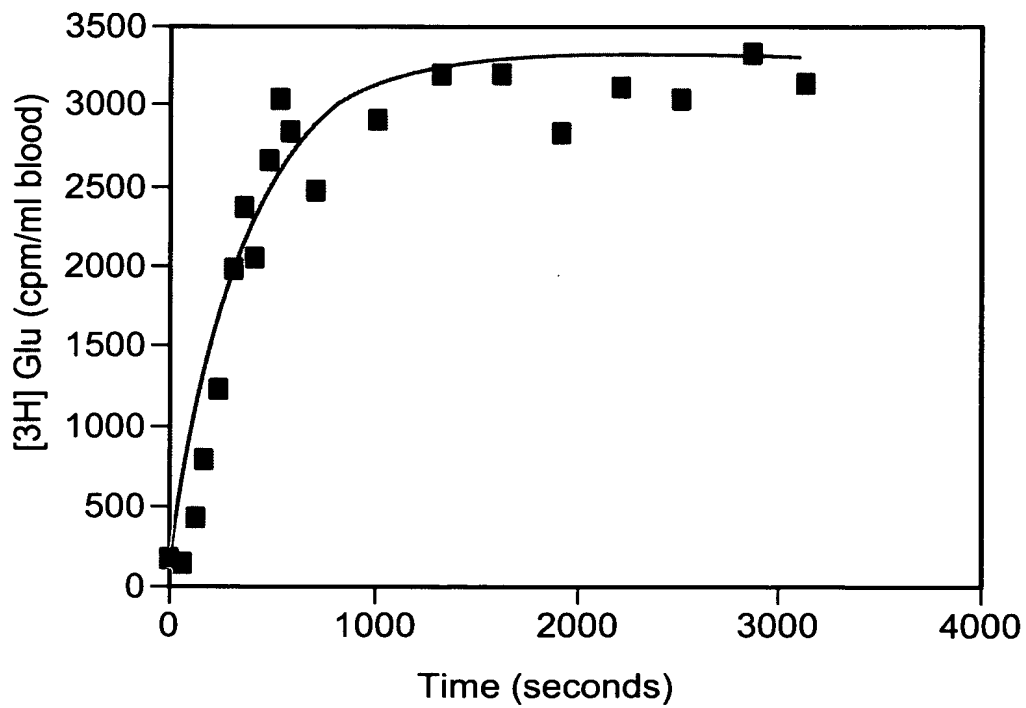


Fig. 18

14/22

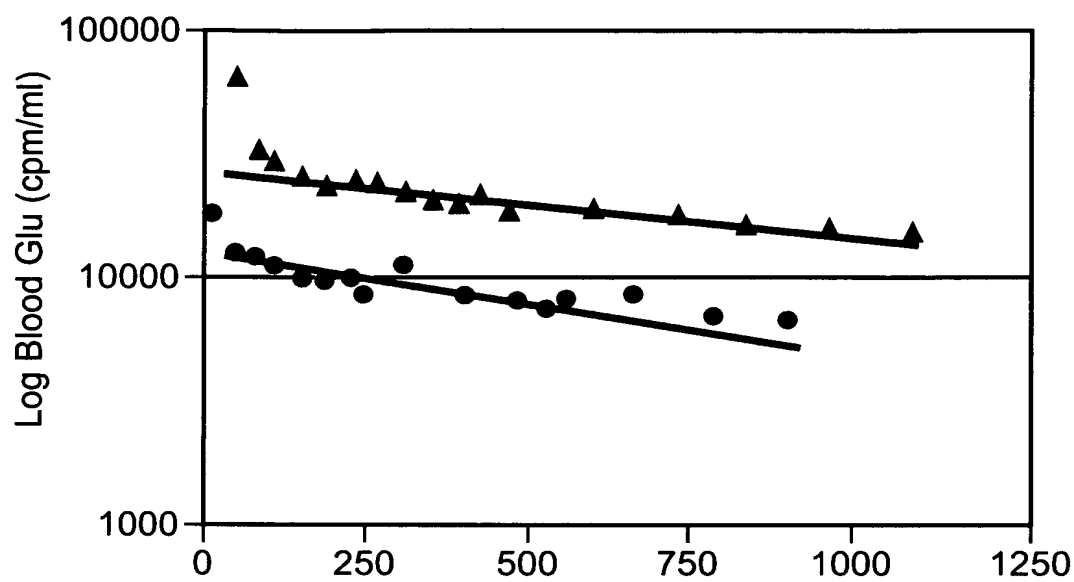


Fig. 19

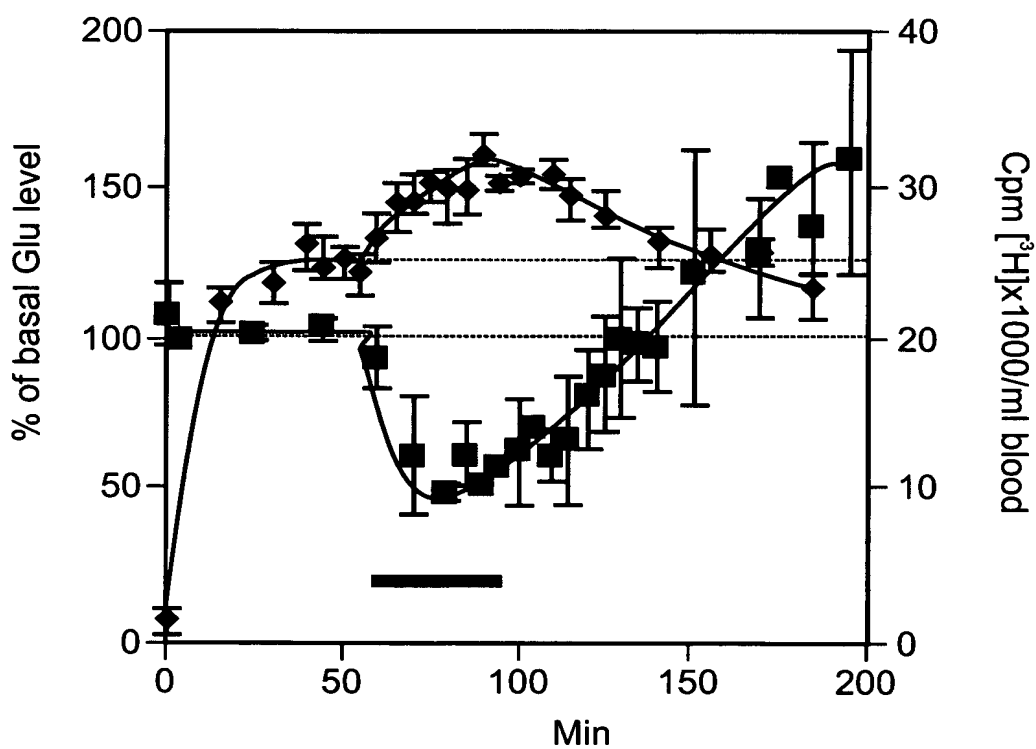


Fig. 20

15/22

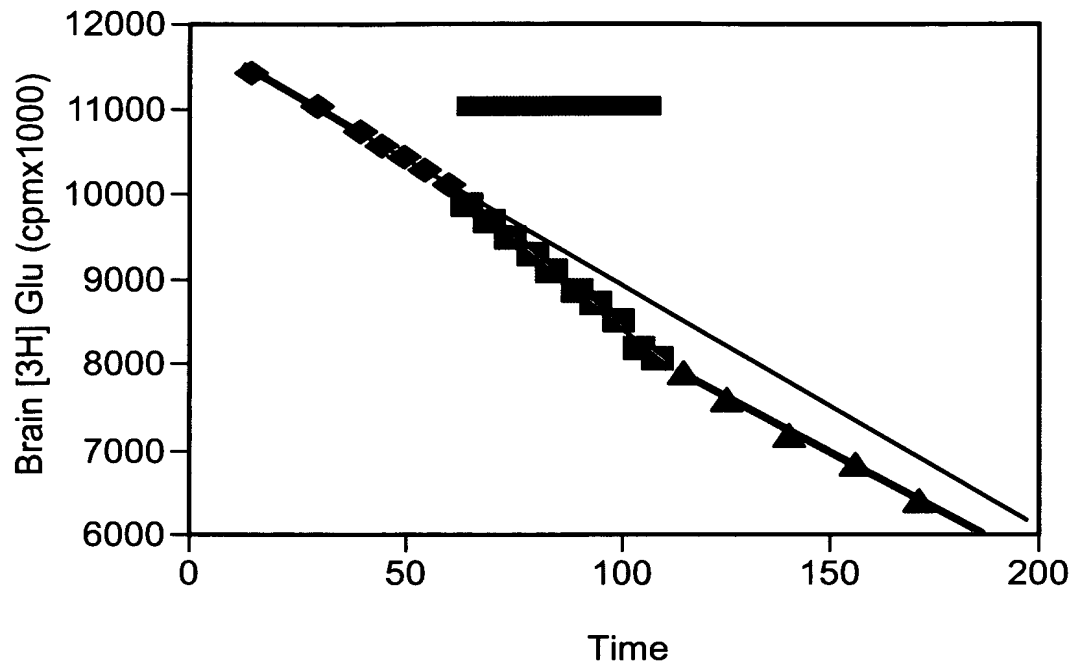


Fig. 21

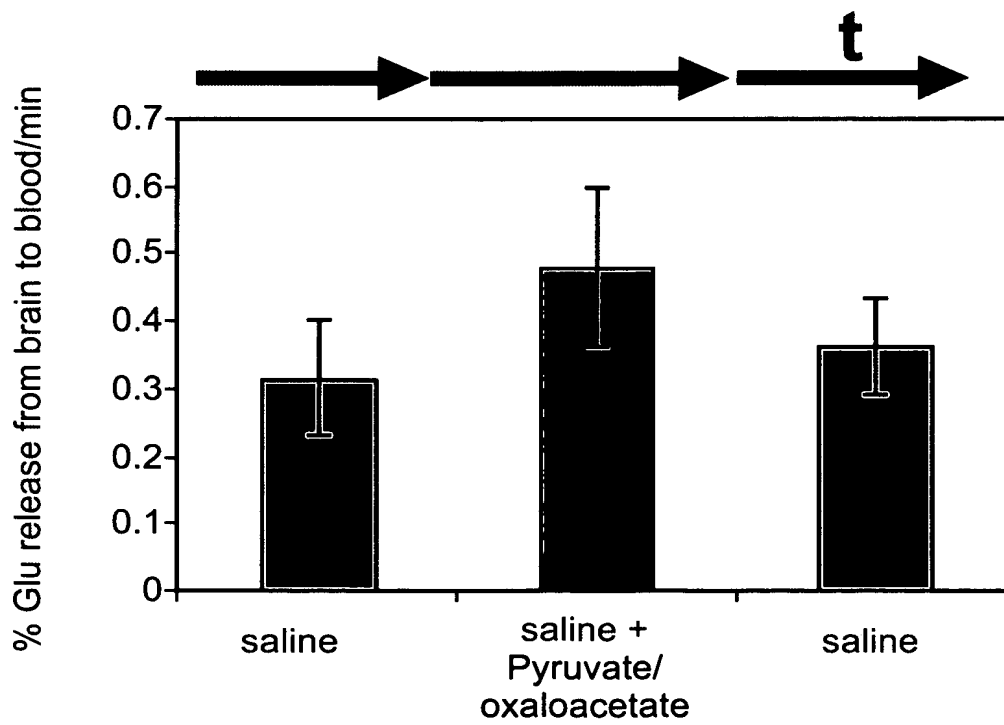


Fig. 22

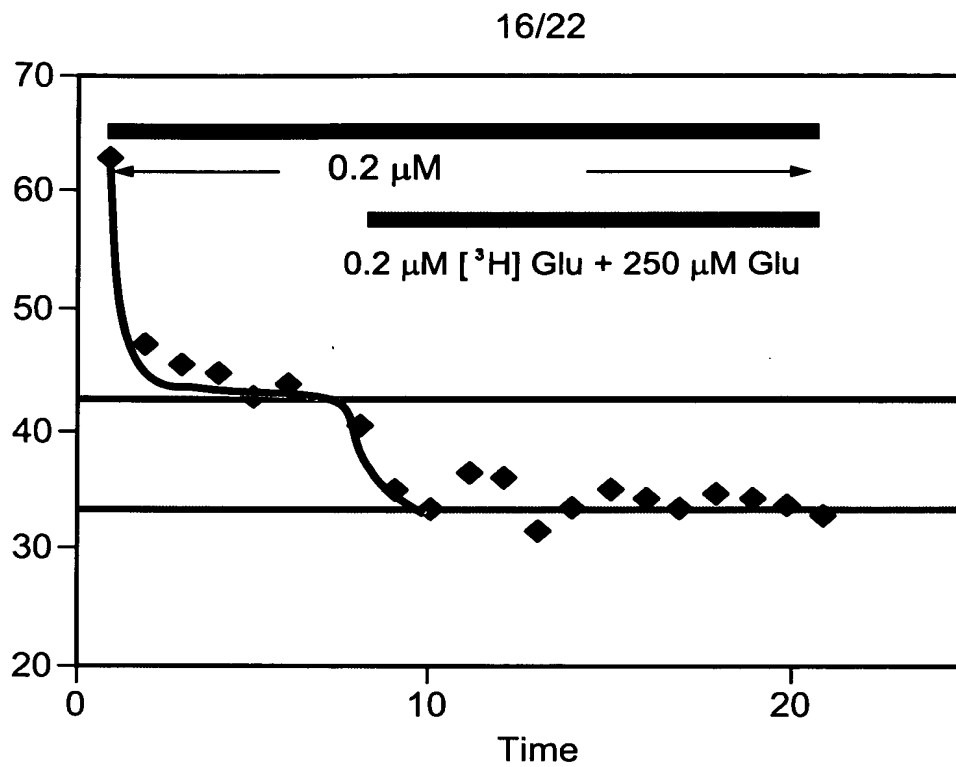


Fig. 23

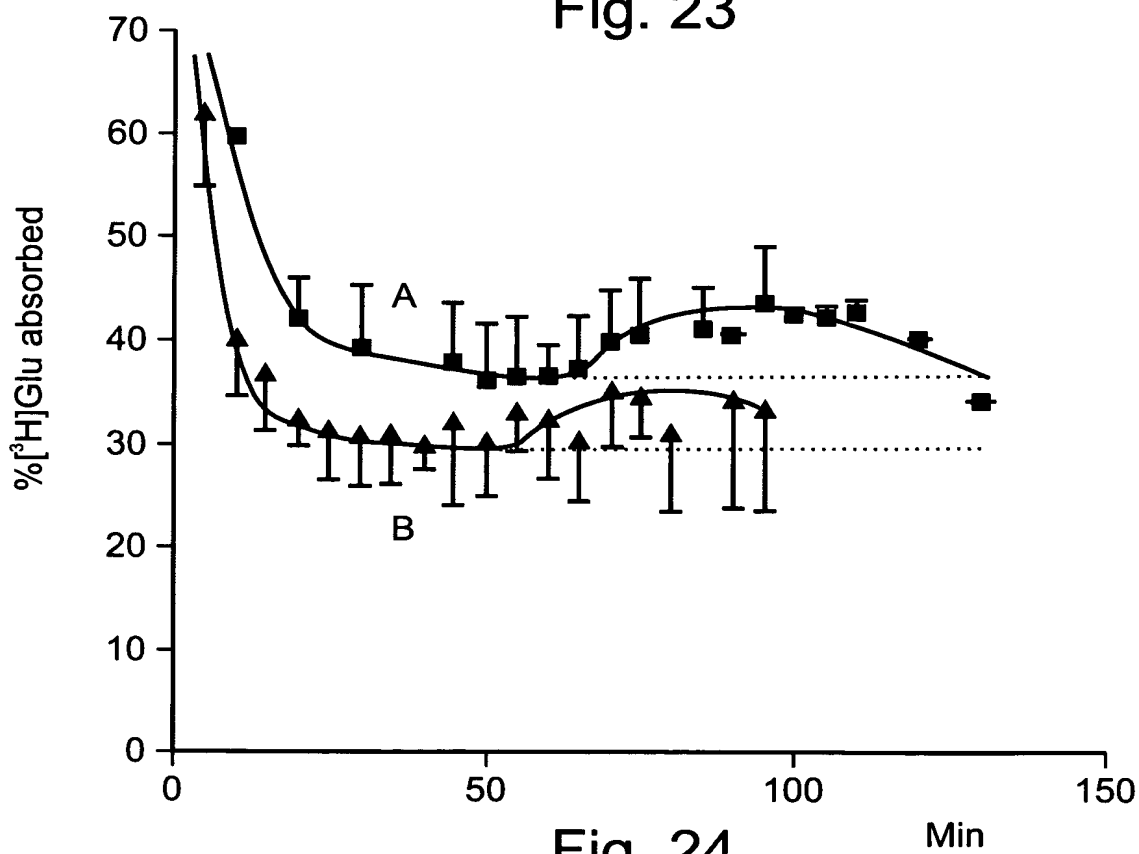


Fig. 24



17/22

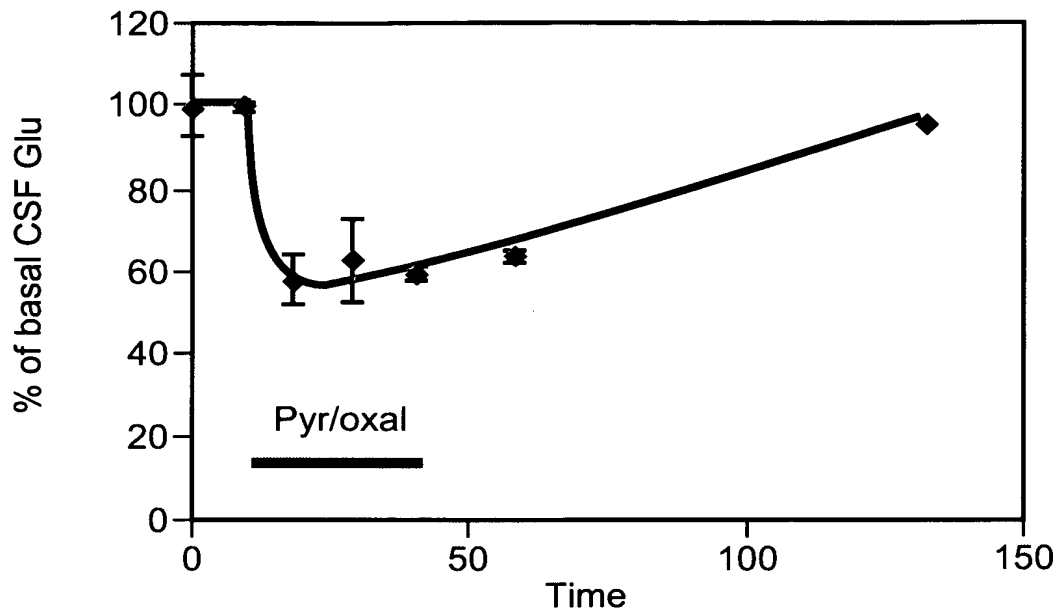


Fig. 25

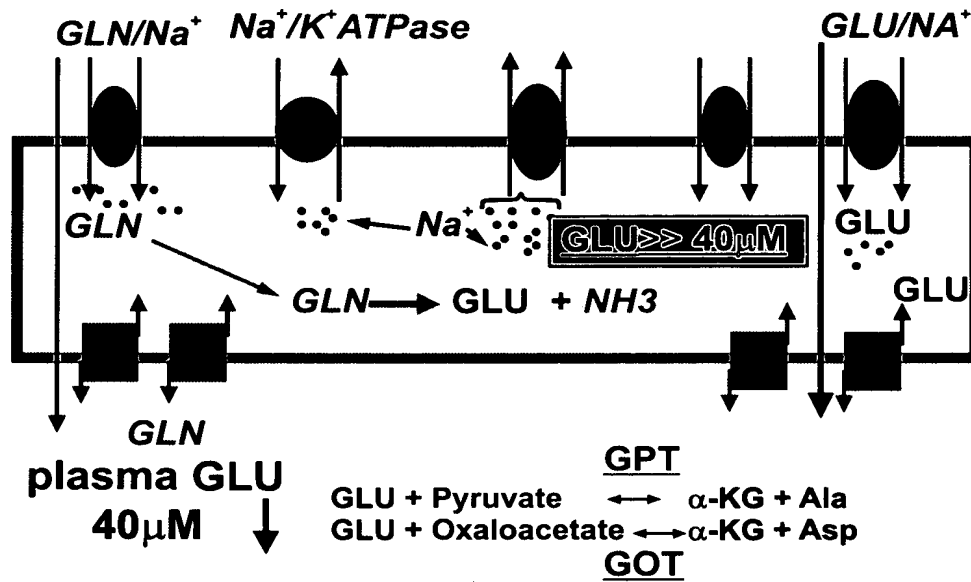
ISF GLU 1 $\mu$ M

Fig. 26

18/22

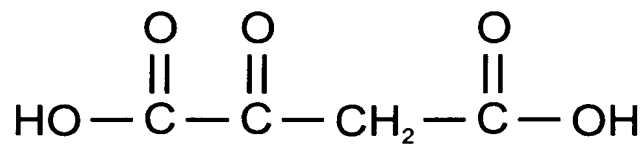


Fig. 27a

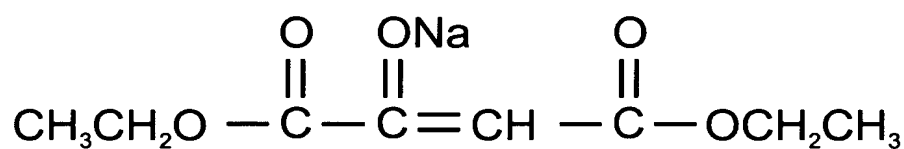


Fig. 27b

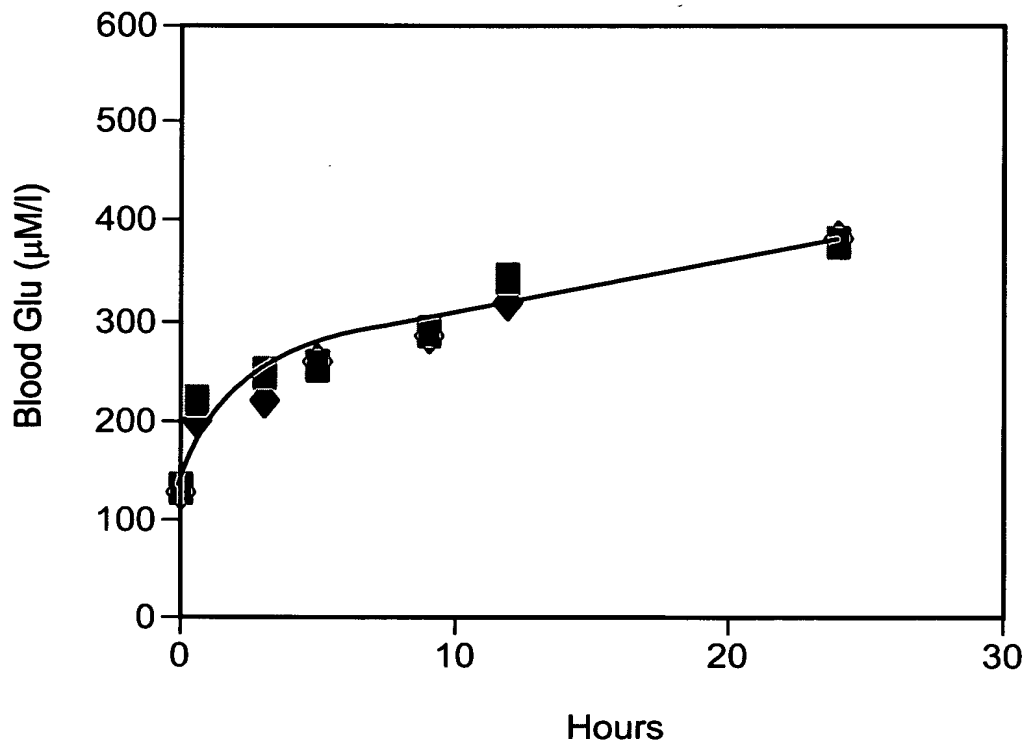


Fig. 28

19/22

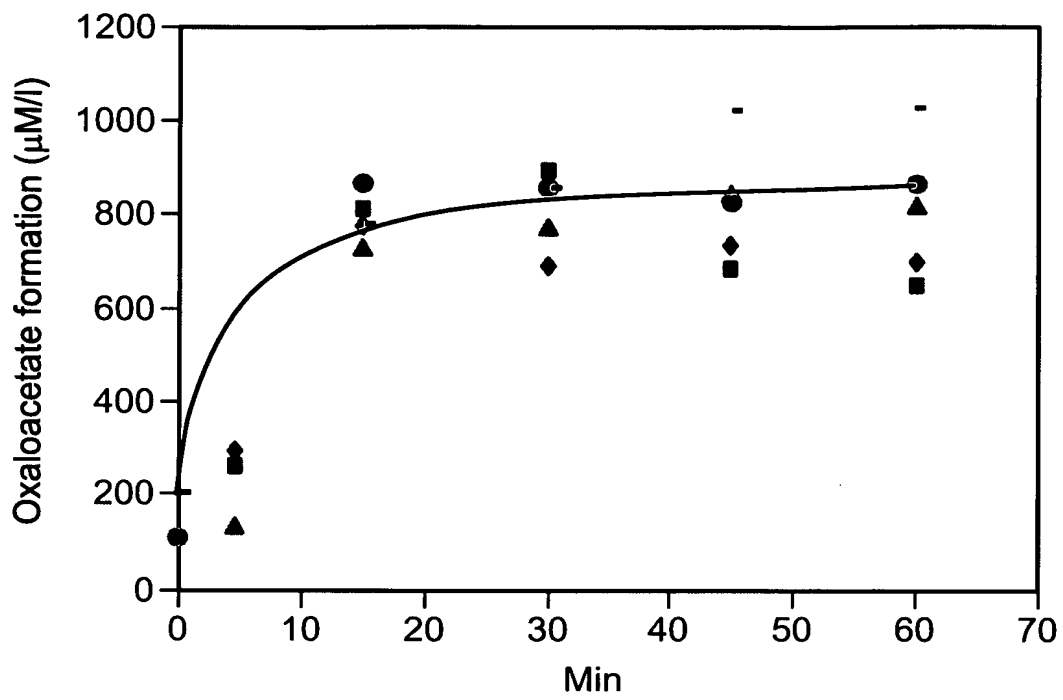


Fig. 29a

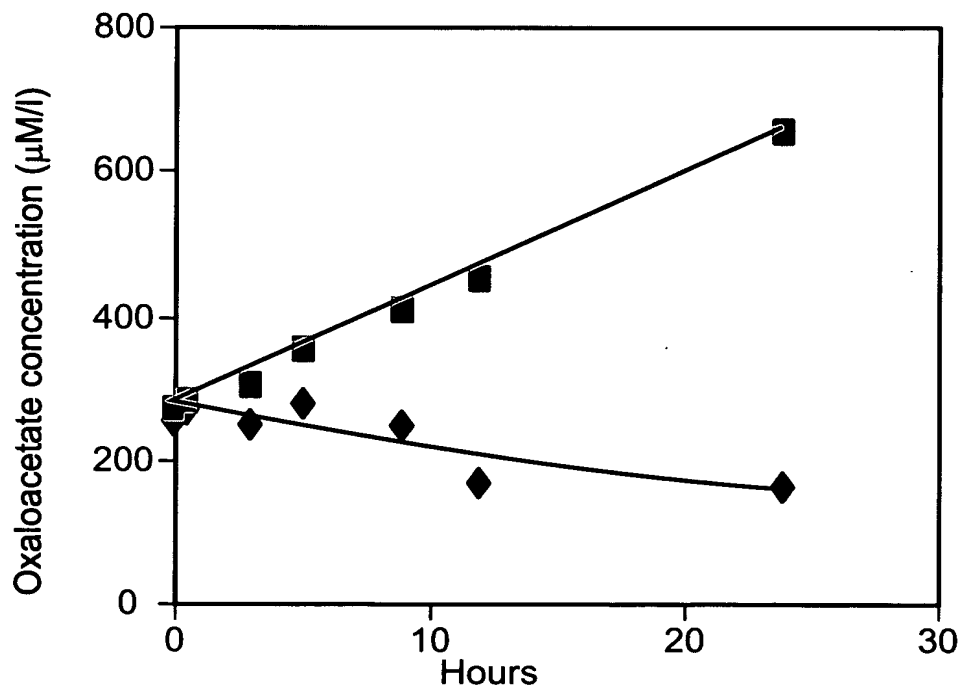


Fig. 29b

20/22

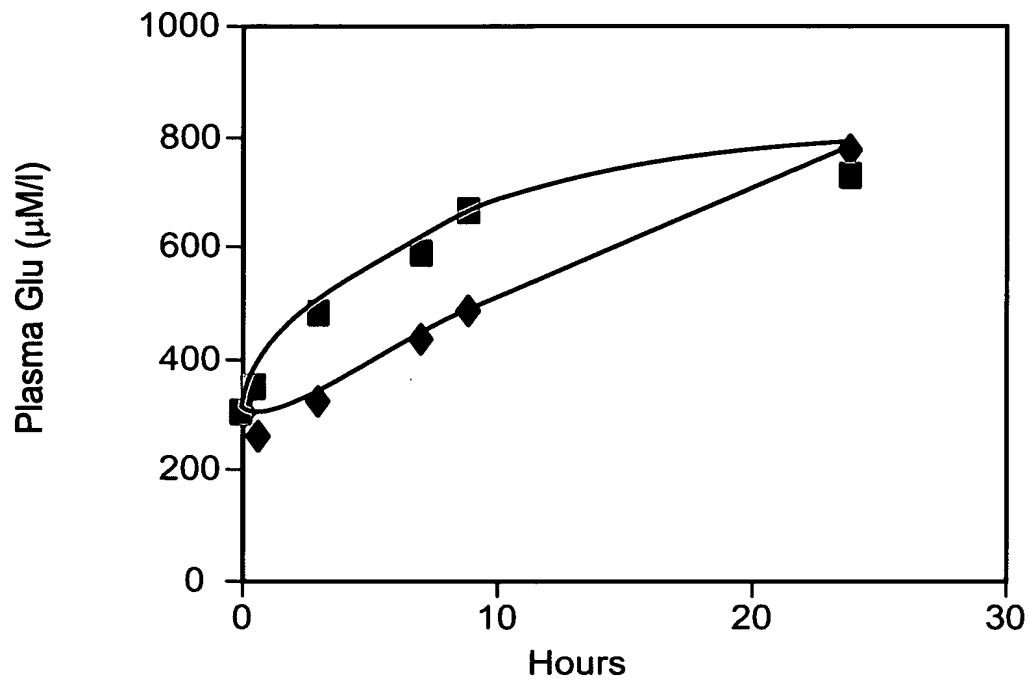


Fig. 30

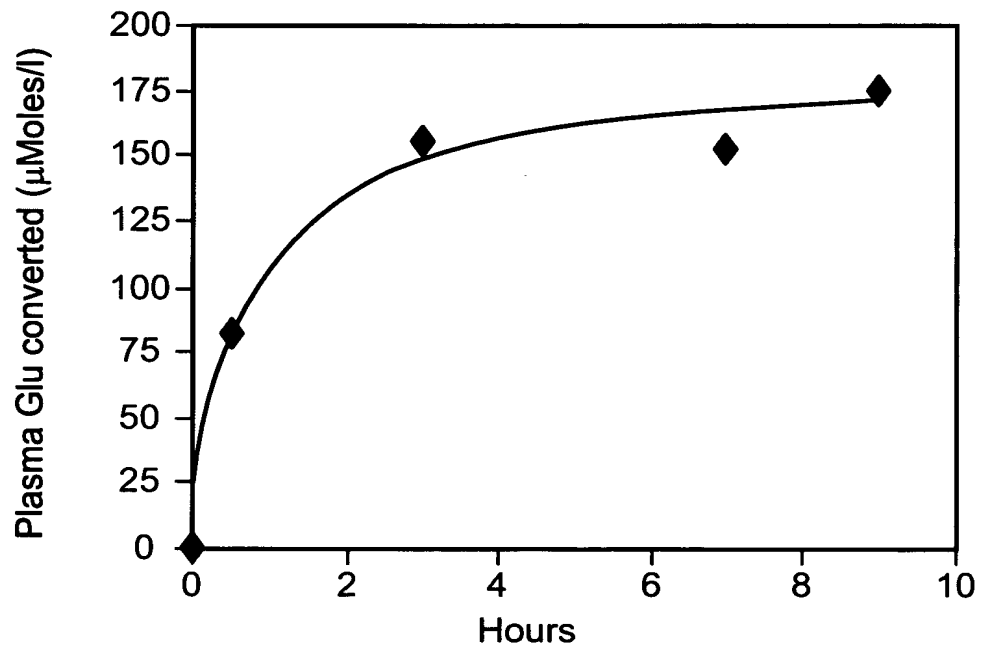


Fig. 31

21/22

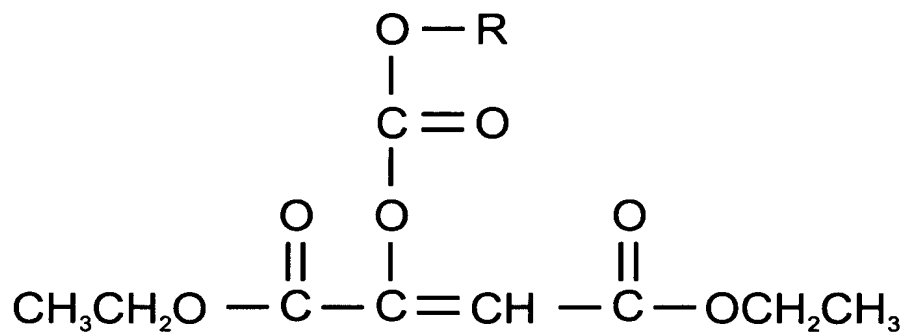


Fig. 32

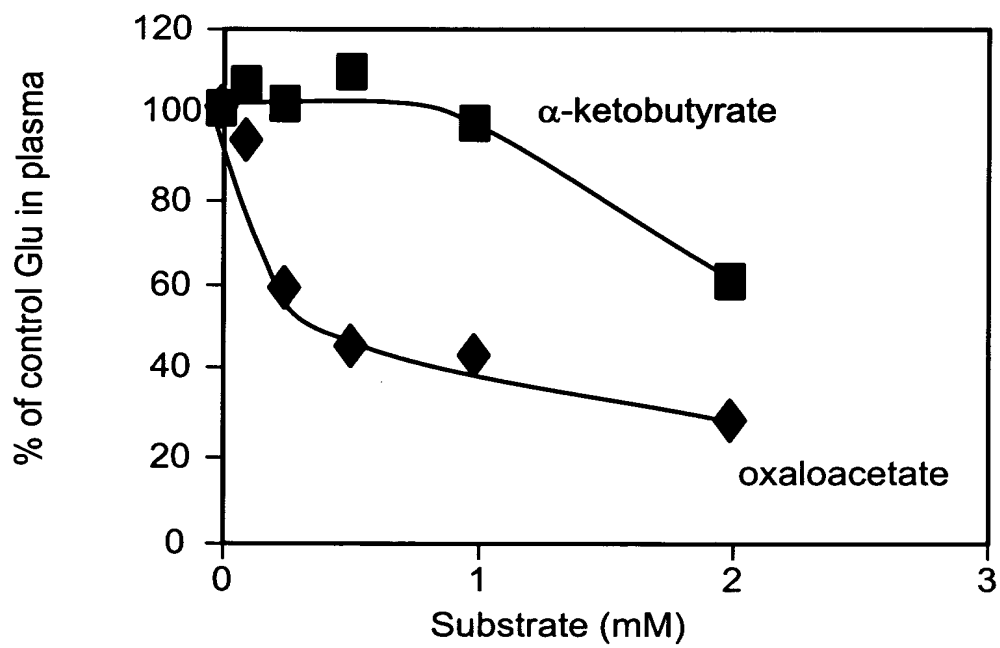


Fig. 33

22/22

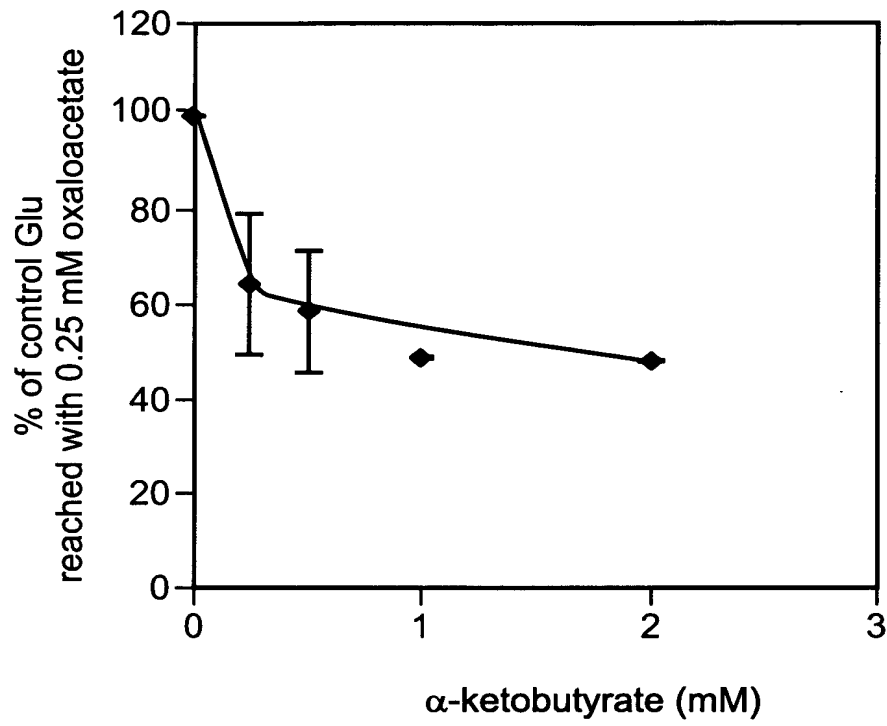


Fig. 34